

1
2
3
4
5
6
7
8
9
10
11
12
13
14
15
16

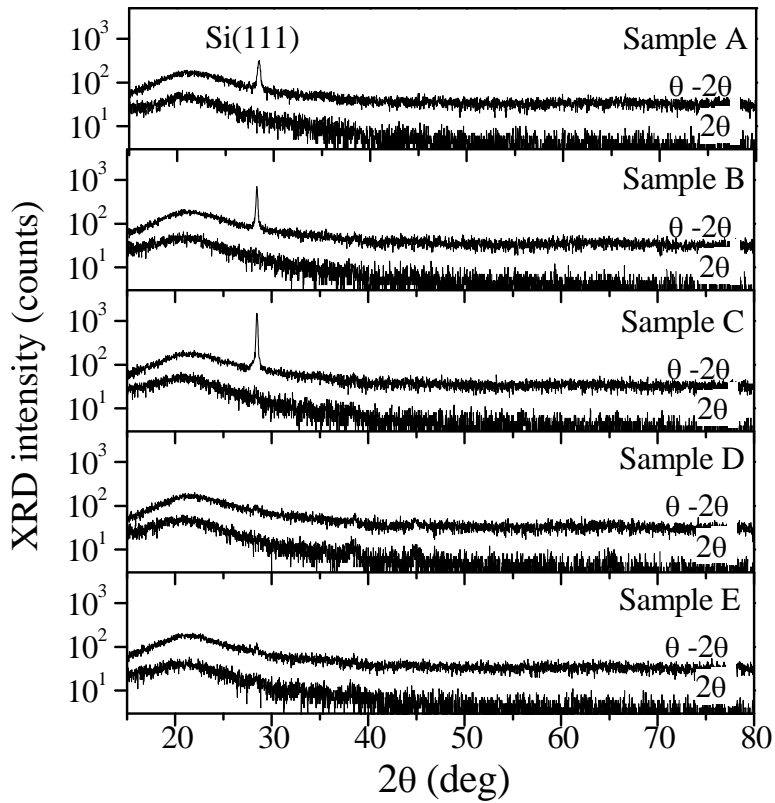


Fig. 1 Tsukada *et al.*

17

18

19

20

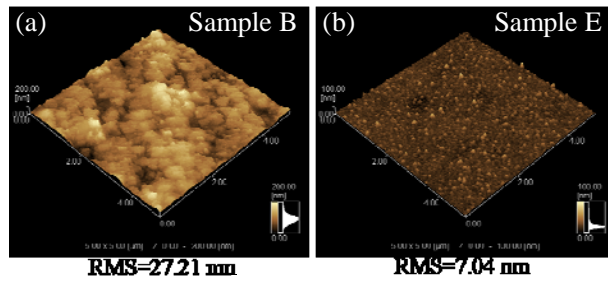
21

22

23

24

25



26

27

28

Fig. 2 Tsukada *et al.*

29

30

31

32

33

34

35

36

37

38

39

40

41

42

43

44

45

46

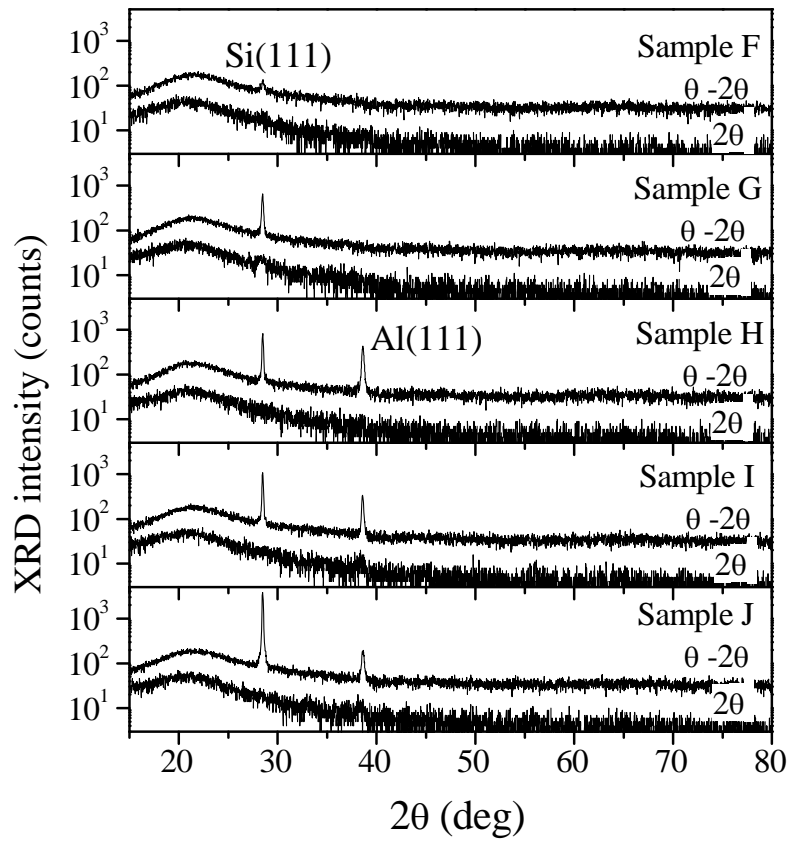


Fig. 3 Tsukada *et al.*

47

48

49

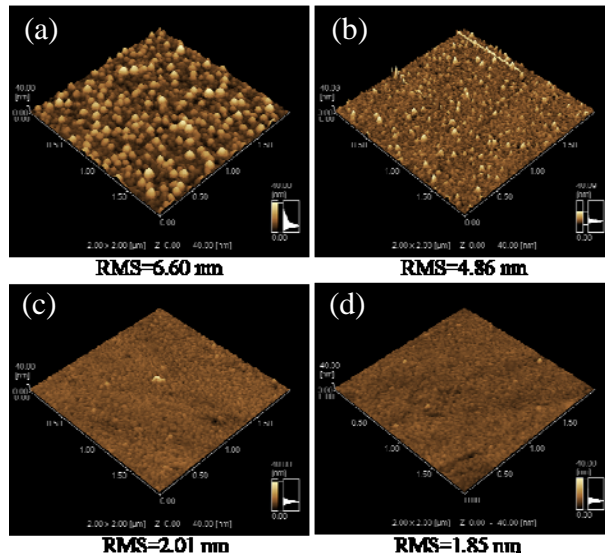
50

51

52

53

54



55

56

57

58

59

60

Fig. 4 Tsukada *et al.*

61

62

63

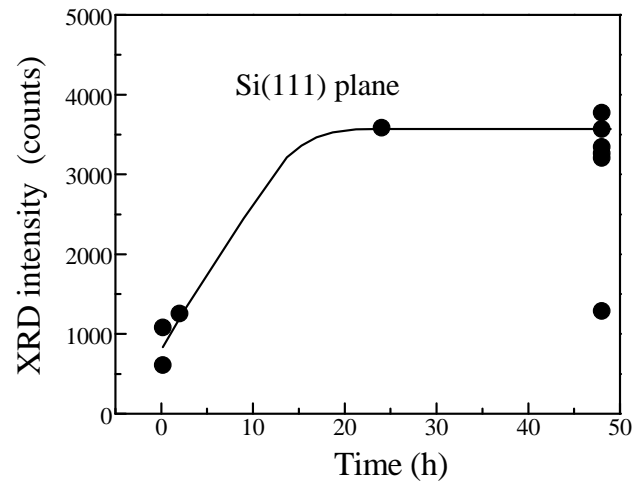
64

65

66

67

68



69

70

71

72

Fig. 5 Tsukada *et al.*

73

74

75

76

77

78

79

80

81

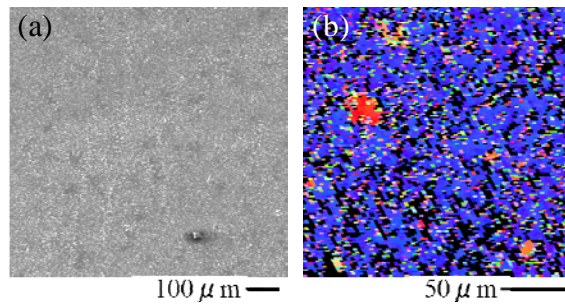
82

83

84

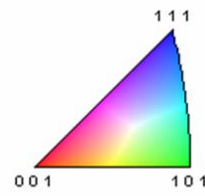
85

86



87

88



89

90

Fig. 6 Tsukada *et al.*

91

92

93

94

95

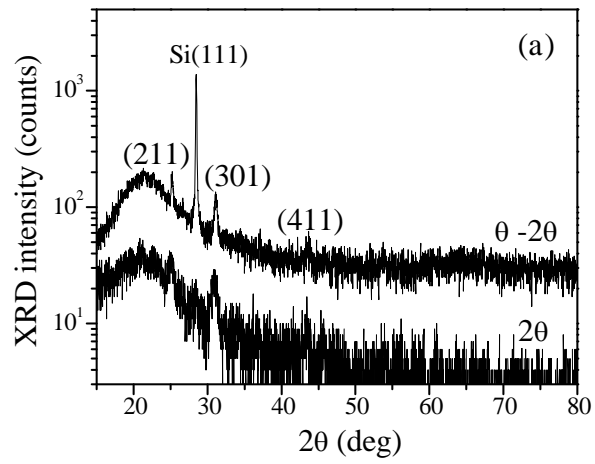
96

97

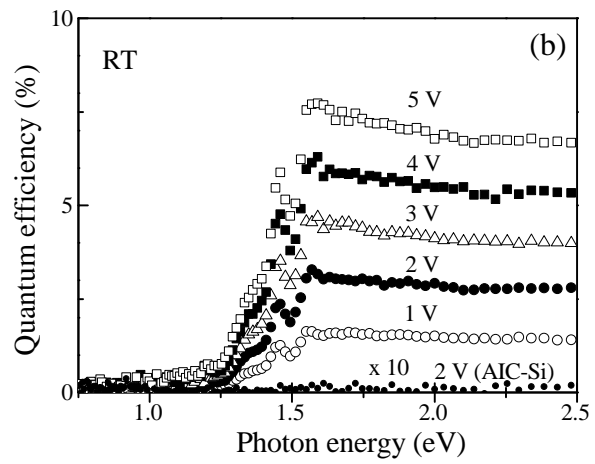
98

99

100



101



105

106

107

108

109

Fig. 7 Tsukada *et al.*